

Analysis 2 Zusammenfassung

Micha Bosshart - bmicha@ethz.ch
ergänzt von Noa Sendlhofer & Christian Leser
Version: November 2, 2023
Template by Micha Bosshart

1 Funktionen

1.1 Folgen und Reihen

konvergent Es existiert ein Grenzwert sonst divergent.

beschränkt Alle Glieder in endlich breitem, waagerechten Parallelstreifen enthalten.

monoton wachsend $a_{n+1} \geq a_n$ (strikt: $>$)

mon. wachsend/ fallend & beschränkt \Rightarrow konvergent

1.1.1 Rechenregeln für konvergente Folgen

Falls $\lim_{n \rightarrow \infty} a_n = a$ und $\lim_{n \rightarrow \infty} b_n = b$, gilt:

$$\lim_{n \rightarrow \infty} (a_n \pm b_n) = a \pm b$$
$$\lim_{n \rightarrow \infty} (a_n \cdot b_n) = a \cdot b$$
$$\lim_{n \rightarrow \infty} (a_n/b_n) = a/b.$$

Gilt auch für Funktionen; sofern Grenzwert existiert.

1.1.2 Geometrische Reihe

$$\sum_{n=0}^k a \cdot q^n = a \cdot \frac{1 - q^{k+1}}{1 - q}$$
$$\sum_{n=0}^{\infty} a \cdot q^n = \frac{a}{1 - q}, \text{ falls } |q| < 1$$

1.1.3 Arithmetische Reihe

$$\sum_{n=1}^{\infty} [a_1 + (n - 1) \cdot d] = \frac{n}{2} \cdot (a_1 + a_n)$$

1.1.4 häufige Reihen

$$\bullet \sum_{n=1}^k n = \frac{k \cdot (k + 1)}{2} \triangleright \sum_{n=0}^{\infty} \frac{1}{n!} = \lim_{n \rightarrow \infty} \left(1 + \frac{1}{n}\right)^n = e$$
$$\bullet \sum_{n=1}^{\infty} \frac{1}{n^{\alpha}} \begin{cases} \alpha = 1 \rightarrow \text{harm. Reihe} \\ = \infty, \alpha \leq 1 \text{ (divergiert)} \\ \neq \pm \infty, \alpha > 1 \text{ (konvergiert)} \end{cases}$$

1.2 Grenzwerte

1.2.1 Bernoulli de L'Hôpital

Falls $\lim_{x \rightarrow a} f(x) = \lim_{x \rightarrow a} g(x) = 0$ (oder $\pm \infty$), so gilt

$$\lim_{x \rightarrow a} \frac{f(x)}{g(x)} = \lim_{x \rightarrow a} \frac{f'(x)}{g'(x)}.$$

1.2.2 Landau Symbol

$$f(x) = o(g(x)) \text{ für } x \rightarrow a \iff \lim_{x \rightarrow a} \frac{f(x)}{g(x)} = 0$$

$$f(x) = O(g(x)) \text{ für } x \rightarrow a \iff \lim_{x \rightarrow a} \left| \frac{f(x)}{g(x)} \right| \leq A \in \mathbb{R}$$

Es gilt:

$$x^k = o(e^x) \text{ für } x \rightarrow \infty, \quad k \in \mathbb{R}$$
$$\ln(x) = o(x^k) \text{ für } x \rightarrow \infty, \quad k > 0$$
$$f(x) = o(g(x)) \Rightarrow f(x) = O(g(x))$$
$$f(x) = O(g(x)) \not\Rightarrow f(x) = o(g(x))$$

1.3 Eigenschaften

Eine Funktion $f : A \rightarrow B$ ist eine Vorschrift, die jedem $x \in A$ ein Element $f(x) \in B$ zuordnet, $f : x \rightarrow f(x)$.

Definitionsbereich: $D(f) = A$

Zielbereich: $Z(f) = B$

Wertebereich: $W(f) = \{f(x) \mid x \in D(f)\}$

1.3.1 Surjektiv

Jeder Wert im Zielbereich $Z(f)$ wird angenommen.

$$W(f) = Z(f)$$

1.3.2 Injektiv

Jede Horizontale schneidet den Graphen $\Gamma(f)$ höchstens einmal.

$$\bullet f(x_1) = f(x_2) \Rightarrow x_1 = x_2, \text{ sonst nicht injektiv}$$

1.3.3 Bijektiv

Injektiv & Surjektiv \Leftrightarrow Bijektiv \Leftrightarrow Umkehrbar

1.3.4 Inverse Funktion

Sei $f(x)$ eine Funktion von $D(f)$ nach $W(f)$, dann ist $f^{-1} : W(f) \rightarrow D(f)$ mit $y \mapsto f^{-1}(y)$ die inverse Funktion von $f(x)$.

$$\bullet W(f^{-1}) = D(f)$$
$$\bullet D(f^{-1}) = W(f)$$

1.3.5 Gerade & Ungerade

gerade: $f(-x) = f(x)$

ungerade: $f(-x) = -f(x)$

1.3.6 Stetigkeit

$f(x)$ ist stetig im Punkt ξ falls

$$\lim_{x \rightarrow \xi^-} f(x) = f(\xi) = \lim_{x \rightarrow \xi^+} f(x).$$

- Bei Lücken in $D(f)$ werden die einzelnen Abschnitte separat betrachtet.

1.3.7 Monotonie

(Strikt) Monoton Steigend

$$\bullet x_1 < x_2 \iff f(x_1) \leq f(x_2) \quad (\text{strikt: } <)$$
$$\bullet f'(x) \geq 0 \quad (\text{strikt: } >)$$

(Strikt) Monoton Fallend

$$\bullet x_1 < x_2 \iff f(x_1) \geq f(x_2) \quad (\text{strikt: } >)$$
$$\bullet f'(x) \leq 0 \quad (\text{strikt: } <)$$

1.3.8 Beschränktheit

Alle Funktionswerte sind in einem endlich breiten waagerechten Parallelstreifen enthalten.

1.4 Asymptoten

Wir nennen eine Funktion $g(x)$ eine Asymptote von $f(x)$ für $x \rightarrow \infty$ falls

$$\lim (f(x) - g(x)) = 0.$$

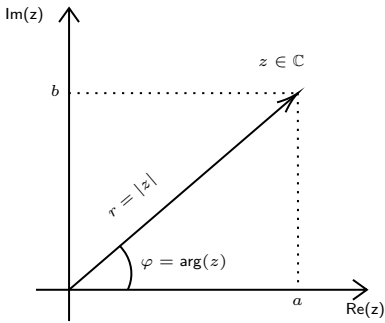
1.5 Hyperbolische Funktionen

$$\cosh(x) = \frac{e^x + e^{-x}}{2} \quad \sinh(x) = \frac{e^x - e^{-x}}{2}$$
$$\tanh(x) = \frac{\sinh(x)}{\cosh(x)}$$
$$\frac{d}{dx} \cosh(x) = \sinh(x) \quad \frac{d}{dx} \sinh(x) = \cosh(x)$$
$$\cosh(x)^2 - \sinh(x)^2 = 1$$

1.5.1 Inverse Funktionen

$$\cosh(x)^{-1} = \operatorname{arcosh}(x) = \ln(x + \sqrt{x^2 - 1})$$
$$\sinh(x)^{-1} = \operatorname{arsinh}(x) = \ln(x + \sqrt{x^2 + 1})$$
$$\tanh(x)^{-1} = \operatorname{artanh}(x) = \frac{1}{2} \ln\left(\frac{1+x}{1-x}\right)$$

2 Komplexe Zahlen



$$z = \underbrace{a + ib}_{\text{kartesisch}} = \underbrace{r \cos(\varphi) + ir \sin(\varphi)}_{\text{Polarform}} = \underbrace{r \cdot e^{i\varphi}}_{\text{Euler}}$$

2.1 Nullstellen Reeller Polynome mit Grad n

$$p(x) = a_0 + a_1x + a_2x^2 + \dots + a_nx^n, \quad a_i \in \mathbb{R}$$

- Hat genau n Nullstellen (komplex und reell)
- Komplexe Nullstellen kommen immer im komplex-konjugierten Paar vor.

2.2 Komplex Konjugierte

Komplexe Zahl: $z = x - iy$
Komplex konjugierte Zahl: $\bar{z} = x + iy$

$$\frac{z_1}{z_2} = \frac{z_1 \cdot \bar{z}_2}{z_2 \cdot \bar{z}_2} \quad \left| \quad \frac{1}{z^2 - 1} = \frac{\bar{z}^2 - 1}{|z^2 - 1|} \right|$$

3 Potenzreihen

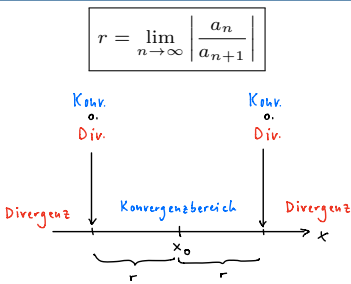
Potenzreihe der Funktion $f(x)$ um den Punkt x_o :

$$f(x) = \sum_{n=0}^{\infty} a_n \cdot (x - x_o)^n$$

- Höchstens eine Potenzreihe von f um x_o existiert.
- Konvergiert für $|x - x_o| < r$

$$\frac{1}{1 - \boxed{x}} = \sum_{n=0}^{\infty} \boxed{x}^n$$

3.1 Konvergenzkriterien



Innerhalb vom Konvergenzbereich darf man Potenzreihen gliedweise:

- addieren & subtrahieren
- integrieren & differenzieren

3.2 Taylorreihen

Taylorentwicklung von $f(x)$ um x_o :

$$f(x) = \sum_{n=0}^{\infty} \frac{f^{(n)}(x_o)}{n!} (x - x_o)^n$$

- ungerade Fkt \Leftrightarrow ungerade Indizes: $a_1x + a_3x^3 + \dots$
- gerade Fkt \Leftrightarrow gerade Indizes: $a_0 + a_2x^2 + \dots$

4 Parametrisierungen

4.1 Kreis / Ellipse

Ellipse mit Mittelpunkt (x_o, y_o) und Halbachsen a & b .
implizit:

$$\left(\frac{x - x_o}{a}\right)^2 + \left(\frac{y - y_o}{b}\right)^2 = 1$$

parametrisiert:

$$x(t) = x_o + a \cdot \cos(t)$$
$$y(t) = y_o + b \cdot \sin(t)$$

4.2 Hyperboloid

implizit:

$$\left(\frac{x - x_o}{a}\right)^2 + \left(\frac{y - y_o}{b}\right)^2 - \left(\frac{z - z_o}{c}\right)^2 = 1$$

parametrisiert:

$$x(\lambda, t) = a(\cos(t) - \lambda \sin(t))$$
$$y(\lambda, t) = b(\sin(t) + \lambda \cos(t))$$
$$z(\lambda, t) = c\lambda$$

4.3 Normal- und Tangentialvektoren

4.3.1 explizit

$$y = f(x) \quad \vec{t} = \begin{pmatrix} 1 \\ f'(x_o) \end{pmatrix} \quad \vec{n} = \begin{pmatrix} f'(x_o) \\ -1 \end{pmatrix}$$

4.3.2 parametrisiert

$$\vec{r}(t) = \begin{pmatrix} x(t) \\ y(t) \end{pmatrix} \quad \vec{t} = \begin{pmatrix} \dot{x}(t) \\ \dot{y}(t) \end{pmatrix} \quad \vec{n} = \begin{pmatrix} -\dot{y}(t) \\ \dot{x}(t) \end{pmatrix}$$

5 Differentialrechnung

5.1 Ableitung Inverse Funktion

$$(f^{-1})'(x_o) = \frac{1}{f'(f^{-1}(x_o))}$$

5.2 Tangenten

5.2.1 Explizit

$$t(x) = f(x_o) + f'(x_o) \cdot (x - x_o)$$

Eine Tangente $t(x)$ an die Funktion $f(x)$ im Punkt x_o , erfüllt folgende Bedingungen:

$$t'(x_o) \stackrel{!}{=} f'(x_o),$$

$$t(x_o) \stackrel{!}{=} f(x_o).$$

5.2.2 Parametrisiert

Tangente $\vec{t}(s)$ an die Parametrisierung $\vec{r}(t)$ im Punkt t_o .

$$\vec{t}(s) = \begin{pmatrix} x(s) \\ y(s) \end{pmatrix} = \vec{r}(t_o) + s \cdot \dot{\vec{r}}(t_o)$$

5.3 Fehlerrechnung

Die berechnete Grösse f ist abhängig von der gemessenen Grösse x . Die gemessene Grösse weicht mit dem Messfehler dx von der Realität ab.

• Linearisierung

$$f(x) \approx f(x_0) + \left. \frac{\partial f}{\partial x} \right|_{x_0} \cdot (x - x_0)$$

• Absoluter Fehler

$$\Delta f = f(x + \Delta x) - f(x) \xrightarrow{\Delta x \rightarrow 0} \Delta f \approx f'(x) \Delta x$$

• Relativer Fehler

$$\left| \frac{df}{f} \right|$$

5.3.1 Bemerkungen

1% Genauigkeit

Messfehler von 1°

$$\frac{\Delta x}{x} = 1\% = \frac{1}{100}$$

$$\Delta \alpha = \frac{\pi}{180}$$

5.4 Evolute

$E(t)$

Parametrisierung der Krümmungsmittelpunkte an die Kurve $\vec{r} = (x(t), y(t))^T$.

$$E(t) = \begin{pmatrix} x_E(t) \\ y_E(t) \end{pmatrix}$$

$$x_E(t) = x - \frac{\dot{y}(\dot{x}^2 + \dot{y}^2)}{\dot{x}\ddot{y} - \dot{y}\ddot{x}}$$

$$y_E(t) = y + \frac{\dot{x}(\dot{x}^2 + \dot{y}^2)}{\dot{x}\ddot{y} - \dot{y}\ddot{x}}$$

5.5 Krümmung

- Parametrisierung $\vec{r}(t) = (x(t), y(t))^T$

$$k(t) = \frac{\dot{x}\ddot{y} - \dot{y}\ddot{x}}{(\dot{x}^2 + \dot{y}^2)^{3/2}}$$

- Explizit $y = f(x)$

$$k(x) = \frac{f''(x)}{(1 + f'(x)^2)^{3/2}}$$

- Polarkoordinaten $r = f(\varphi)$

$$k(\varphi) = \frac{(f(\varphi))^2 + 2(f'(\varphi))^2 - f(\varphi)f''(\varphi)}{[(f(\varphi))^2 + (f'(\varphi))^2]^{3/2}}$$

6 Integralrechnung

6.1 Leibnitz Theorem

$$\frac{d}{dx} \left(\int_{a(x)}^{b(x)} f(x, t) dt \right) = \int_{a(x)}^{b(x)} f_x(x, t) dt + f(x, b(x)) \frac{db(x)}{dx} - f(x, a(x)) \frac{da(x)}{dx}$$

6.2 Hauptsatz der Infinitesimalrechnung

Für $a \in \mathbb{R}$

$$\frac{d}{dx} \left[\int_a^x f(t) dt \right] = f(x)$$

6.3 Partialbruchzerlegung

1. Nenner Faktorisieren
2. Ansatz
3. Koeffizientenvergleich, Konstanten bestimmen

Ansatz

▷ n -fache reelle Nullstelle:

$$\frac{(\dots)}{(x - x_o)^n} = \frac{A}{(x - x_o)} + \frac{B}{(x - x_o)^2} + \dots + \frac{Z}{(x - x_o)^n}$$

▷ n -fache komplexe Nullstelle (e.g. $(x^2 + 1)$):

$$\frac{(\dots)}{(x^2 + 1)^n} = \frac{Ax + B}{(x^2 + 1)} + \frac{Cx + D}{(x^2 + 1)^2} + \dots + \frac{Yx + Z}{(x^2 + 1)^n}$$

6.4 Partielle Integration

Es sei $F'(x) = f(x)$ und $G'(x) = g(x)$, dann gilt

$$\int_a^b \underset{\uparrow}{G} \cdot \underset{\downarrow}{f} dx = G \cdot \underset{\uparrow}{F} \Big|_a^b - \int_a^b g \cdot F dx.$$

6.5 Bogenlänge

s

- explizit $y = f(x)$

$$s = \int_a^b \sqrt{1 + (f'(x))^2} dx$$

- Polarkoordinaten $\rho = \rho(\varphi)$

$$s = \int_{\varphi_1}^{\varphi_2} \sqrt{\rho^2 + \dot{\rho}^2} d\varphi$$

- Parametrisierung $\vec{r}(t) = (x(t), y(t))^T$

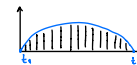
$$s = \int_{t_1}^{t_2} \left| \sqrt{\dot{x}^2 + \dot{y}^2} \right| dt$$

6.6 Flächenberechnungen

- Parametrisierung $\vec{r} = (x(t), y(t))^T$

$$A = \underbrace{\int_{t_1}^{t_2} x \dot{y} dt}_{x \text{ monoton steigend}}$$

$$A = \underbrace{\int_{t_1}^{t_2} -y \dot{x} dt}_{x \text{ monoton fallend}}$$

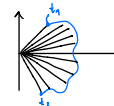


6.6.1 Sektorfläche

Fläche zwischen Ursprung und Kurve

$$A = \frac{1}{2} \int_{t_1}^{t_2} (x \dot{y} - y \dot{x}) dt$$

$$A = \frac{1}{2} \int_{\varphi_1}^{\varphi_2} \rho^2(\varphi) d\varphi$$



Fläche auf der rechten Seite der Kurve hat positives Vorzeichen.

Rotationsvolumen

Kurvenrotation

Kurve rotiert um x-Achse:

$$V = \int_{t_1}^{t_2} \pi y^2(t) \cdot \underbrace{\dot{x}(t) dt}_{dx} = \int_{x_1}^{x_2} \pi f^2(x) \cdot dx$$

Kurve rotiert um y-Achse:

$$V = \int_{t_1}^{t_2} \pi x^2(t) \cdot \underbrace{\dot{y}(t) dt}_{dy} = \int_{y_1}^{y_2} \pi x^2 \cdot \underbrace{f'(x) dx}_{dy}$$

Flächenrotation

Fläche unter Kurve rotiert um y-Achse:

$$V = \int_{t_1}^{t_2} \underbrace{2\pi x(t)}_{\text{Umfang}} \cdot y(t) \cdot \underbrace{\dot{x}(t) dt}_{dx} = \int_{x_1}^{x_2} 2\pi x \cdot f(x) dx$$

6.7 Rotationsoberflächen

Kurve rotiert um x-Achse:

$$O = \int_{t_1}^{t_2} 2\pi y(t) \cdot \underbrace{\sqrt{\dot{x}^2(t) + \dot{y}^2(t)}}_{ds \text{ (Bogenlänge)}} dt$$

$$= \int_{x_1}^{x_2} 2\pi f(x) \cdot \underbrace{\sqrt{1 + f'(x)^2}}_{ds} dx$$

Kurve rotiert um y-Achse:

$$O = \int_{t_1}^{t_2} 2\pi x(t) \cdot \underbrace{\sqrt{\dot{x}^2(t) + \dot{y}^2(t)}}_{ds} dt$$

$$= \int_{x_1}^{x_2} 2\pi x \cdot \underbrace{\sqrt{1 + f'(x)^2}}_{ds} dx$$

6.8 Schwerpunkt / Trägheitsmoment

Sei $H(x)$ die Höhe der Fläche a.d.S. x .
Sei σ die Flächendichte $[kg/m^2]$.

$$\text{Fläche: } A = \int_{x_1}^{x_2} H(x) dx$$

$$\text{Masse: } M = \int_{x_1}^{x_2} \sigma \cdot H(x) dx$$

$$\text{Schwerpunkt: } x_s = \frac{1}{M} \int_{x_1}^{x_2} x \cdot \sigma \cdot H(x) dx$$

$$\text{SP Rotationsvolumen: } x_s = \frac{1}{V} \int_{x_1}^{x_2} x \cdot \pi \cdot H^2(x) dx$$

$$\text{Trägheitsmoment: } I_y = \int_{x_1}^{x_2} x^2 \cdot \sigma \cdot H(x) dx$$

6.8.1 Trägheitsmoment

$$\Theta = \int (\text{Abstand zur Rotationsachse})^2 \cdot (\text{Masse})$$

$$\Theta = \rho \cdot \int_a^b x^2 \cdot G(x) dx$$

$$J_0 = \frac{\pi R^4}{2} = \text{polares Flächenträgheitsmoment der Kreisscheibe}$$

$$\Theta_x = \rho \cdot \int_a^b \frac{1}{2} \pi (f(x))^4 dx = \text{Masseträgheitsmoment eines Rotationskörpers um die x-Achse}$$

$$\Theta = \rho \cdot \frac{1}{2} \pi \int_a^b y(t)^4 \|\dot{x}(t)\| dt$$

$G(x)$ = Masse an diesem Abstand

$M(x)$ = Mantelfläche = $2\pi x \cdot G(x)$ = Umfang \cdot Höhe

$$\Theta_z = \rho \int_{x_1}^{x_2} x^2 \cdot M(x) dx$$

6.9 Uneigentliche Integrale

Konvergiert \iff Grenzwert existiert

6.9.1 1. Gattung

Zu integrierende Funktion ist an der Grenze nicht definiert. Bsp.:

$$\int_0^1 \frac{1}{x} dx = \lim_{\xi \rightarrow 0^+} \int_{\xi}^1 \frac{1}{x} dx$$

6.9.2 2. Gattung

Unendlicher Integrationsbereich. Bsp.:

$$\int_0^{\infty} f(x) dx = \lim_{\xi \rightarrow \infty} \int_0^{\xi} f(x) dx$$

6.9.3 Tricks

$$\int_1^{\infty} \frac{1}{x^\alpha} dx \quad \text{konvergiert} \iff \alpha > 1$$

$$\int_0^1 \frac{1}{x^\alpha} dx \quad \text{konvergiert} \iff \alpha < 1$$

7 Mehrdimensionale Fkt. - Diff. Rechnung

7.1 Fehlerrechnung

Die berechnete Grösse f ist abhängig von den gemessenen Grössen x, y . Die gemessenen Grössen weichen mit den Messfehlern dx, dy von der Realität ab.

- **Totales Differential / Absoluter Fehler**

$$df \approx f_x dx + f_y dy$$

- **Relativer Fehler**

$$\frac{df}{f}$$

7.1.1 Bemerkungen

1% Genauigkeit

$$\frac{dx}{x} = 1\% = \frac{1}{100}$$

Messfehler von 1°

$$d\alpha = \frac{\pi}{180}$$

7.2 Niveaulinien / -flächen

2D

$$f(x, y) = C, \quad C \in \mathbb{R}$$

Höhenlinien

3D

$$f(x, y, z) = C, \quad C \in \mathbb{R}$$

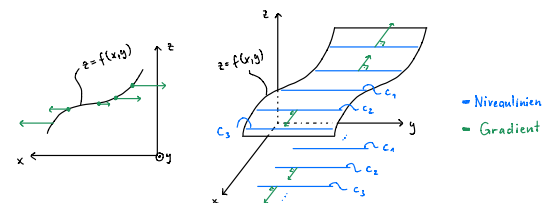
Flächen mit konst. Temp.

7.3 Gradient

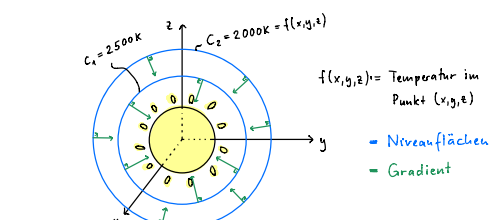
$$\nabla(f(x, y, z)) = \begin{pmatrix} f_x \\ f_y \\ f_z \end{pmatrix}$$

- Steht senkrecht auf Niveaulinien/-flächen.
- Zeigt in Richtung des grössten Anstiegs der Funktionswerte.

7.3.1 2D - $f(x, y)$



7.3.2 3D - $f(x, y, z)$



7.4 Richtungsableitung

Steigung von f in Richtung \vec{e} im Punkt \vec{r}_0 :

$$D_{\vec{e}} f = \frac{\vec{e}}{|\vec{e}|} \cdot \text{grad} f(\vec{r}_0)$$

7.5 Tangentialebenen

7.5.1 Linearisierungsformel

$$z = f(x_o, y_o) + f_x(x_o, y_o)(x - x_o) + f_y(x_o, y_o)(y - y_o)$$

$$0 = f_x(x_o, y_o, z_o)(x - x_o) + f_y(x_o, y_o, z_o)(y - y_o) + \dots$$

7.5.2 Gradient

- $f(x, y, z) = C$ ist eine Niveaulfläche
- $\nabla(f)$ steht senkrecht auf Niveaulflächen. ($\rightarrow \vec{n}$)
- Ebene mit Normalenvektor $\vec{n} = (A, B, C)^T$:
$$Ax + By + Cz = D$$

7.6 Extremalstellen von $f(x, y)$

1. Inneres untersuchen $\rightarrow \text{grad} f \stackrel{!}{=} 0$
2. Rand untersuchen
 - Lagrange Multiplikatoren
 - (a) $g(x, y)$ beschreibt Rand
 - (b) $\text{grad} f(x_o, y_o) = \lambda \cdot \text{grad} g(x_o, y_o)$
 $\text{grad} g(x_o, y_o) \neq 0, \quad \lambda \in \mathbb{R}$
 - (c) Gleichungssystem aus (a) und (b) lösen.
 - Parametrisierung
 - (a) Rand parametrisieren
 - (b) Parametrisierung in f einsetzen
 - (c) Nach Parameter ableiten und nullsetzen.
 $f'(t) = 0$
3. Eckpunkte untersuchen
4. Kandidaten vergleichen
5. Art der Extremalstelle: Hesse-Matrix aufstellen
$$\mathcal{H} = \begin{bmatrix} \frac{\partial^2 f}{\partial x^2} & \frac{\partial^2 f}{\partial x \partial y} \\ \frac{\partial^2 f}{\partial x \partial y} & \frac{\partial^2 f}{\partial y^2} \end{bmatrix}$$
 - Maximum: \mathcal{H} ist negativ definit ($\lambda_i < 0$)
 - Minimum: \mathcal{H} ist positiv definit ($\lambda_i > 0$)
 - Sattelstelle: \mathcal{H} ist indefinit (\mathcal{H} besitzt $\lambda_i > 0$ und $\lambda_i < 0$)

7.7 Satz von Schwarz

Die Reihenfolge von partiellen Ableitungen einer stetigen Funktion spielt keine Rolle.

$$f_{xxxyyzz} = f_{xzyxyzz}$$

7.8 Integrabilitätsbedingungen (IB)

Geg.: $\phi(x, y), \psi(x, y)$

Ges.: $f(x, y)$ mit:

$$f_x \equiv \phi \quad \text{und} \quad f_y \equiv \psi$$

1. IB prüfen (Satz von Schwarz):

$$\phi_y \equiv \psi_x$$

2. $f(x, y)$ bestimmen (Konstante nicht vergessen!):

$$f = \int \phi dx = \int \psi dy$$

7.9 Verallgemeinerte Kettenregel

Geg.: $f(x, y, z), \quad x(t), y(t), z(\rho), \quad \rho(t)$

$$\frac{df}{dt} = \frac{\partial f}{\partial x} \frac{dx}{dt} + \frac{\partial f}{\partial y} \frac{dy}{dt} + \frac{\partial f}{\partial z} \frac{dz}{d\rho} \frac{d\rho}{dt}$$

8 Mehrdimensionale Fkt. - Int. Rechnung

8.1 Flächen- & Volumenintegrale

2D

$$\iint f(x, y) dA$$

Flächenintegral

3D

$$\iiint f(x, y, z) dV$$

Volumenintegral

8.2 Dimensionsvergleich

$$\int f(x) dx = \text{Fläche} = \iint 1 dA$$

$$\iint f(x, y) dA = \text{Volumen} = \iiint 1 dV$$

$$\iiint f(x, y, z) dV = \dots$$

8.3 Koordinatentransformationen

kartesisch:

$$dA = dx dy$$

$$dV = dx dy dz$$

zylindrisch:

$$x = r \cos(\varphi)$$

$$x = r \cos(\varphi)$$

$$y = r \sin(\varphi)$$

$$y = r \sin(\varphi)$$

$$z = z$$

$$dA = r dr d\varphi$$

$$dV = r dr d\varphi dz$$

sphärisch:

$$x = r \sin(\theta) \cos(\varphi)$$

$$y = r \sin(\theta) \sin(\varphi)$$

$$z = r \cos(\theta)$$

$$dV = r^2 \sin(\theta) dr d\varphi d\theta$$

8.3.1 Ellipsenkoordinaten

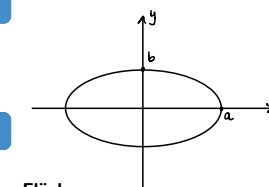
Rand:
implizit:

$$\left(\frac{x}{a}\right)^2 + \left(\frac{y}{b}\right)^2 = 1$$

parametrisiert:

$$x = a \cdot \cos(\varphi)$$

$$y = b \cdot \sin(\varphi)$$



Fläche:

$$x = a \cdot r \cdot \cos(\varphi)$$

$$y = b \cdot r \cdot \sin(\varphi)$$

$$dA = ab r dr d\varphi$$

$$r \in [0, 1]$$

8.3.2 Jacobi Matrix & Determinante

Koordinatentransformation von x, y, z nach u, v, w :

$$x = x(u, v, w)$$

$$y = y(u, v, w)$$

$$z = z(u, v, w)$$

$$J = \begin{bmatrix} x_u & x_v & x_w \\ y_u & y_v & y_w \\ z_u & z_v & z_w \end{bmatrix}$$

$$dx dy dz = |\det(J)| du dv dw$$

8.4 Schwerpunkte

8.4.1 2D

$\sigma(x, y)$: Flächendichte [kg/m^2]

$$m = \iint \sigma(x, y) dA$$

$$x_s = \frac{1}{m} \iint x \cdot \sigma(x, y) dA$$

$$y_s = \frac{1}{m} \iint y \cdot \sigma(x, y) dA$$

Keine Angabe für σ : $\sigma = 1$

8.4.2 3D

$\rho(x, y, z)$: Volumendichte [kg/m^3]

$$m = \iiint \rho(x, y, z) dV$$

$$x_s = \frac{1}{m} \iiint x \cdot \rho(x, y, z) dV$$

$$y_s = \dots$$

Keine Angabe für ρ : $\rho = 1$

8.5 Trägheitsmoment

8.5.1 2D

Trägheitsmoment bzgl. einer Achse:

$$I_x = \iint_A \sigma(x, y) \cdot y^2 dA$$

$$I_y = \iint_A \sigma(x, y) \cdot x^2 dA$$

Polares Trägheitsmom. (bzgl. z-Achse/ Ursprung):

$$I_o = I_x + I_y = \iint_A \sigma(x, y) \cdot (x^2 + y^2) dA$$

Keine Angabe für σ : $\sigma = 1$

8.5.2 3D

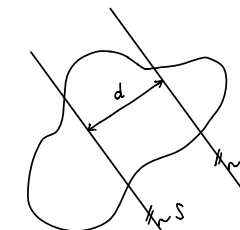
Trägheitsmoment bzgl. Achse:

$$I_x = \iiint_V \rho(x, y, z) \cdot (y^2 + z^2) dV$$

$$I_y = \iiint_V \rho(x, y, z) \cdot (x^2 + z^2) dV$$

Keine Angabe für ρ : $\rho = 1$

8.5.3 Satz von Steiner



$$I_P = I_S + d^2 \cdot m$$

m := Masse

d := Abstand

8.6 Leibnitz Theorem

$$\frac{d}{dx} \left(\int_{a(x)}^{b(x)} f(x,t) dt \right) = \int_{a(x)}^{b(x)} f_x(x,t) dt + f(x,b(x)) \frac{db(x)}{dx} - f(x,a(x)) \frac{da(x)}{dx}$$

8.7 Oberflächenintegrale

Spezialfall eines Flächenintegrals.
Flächeninhalt einer parametr. Oberfläche berechnen:

$$\iint_{\mathcal{O}} d\mathcal{O} = \iint_{\mathcal{O}} |\vec{r}_u \times \vec{r}_v| \, du dv$$

Parametrisierung der Oberfläche:

$$\vec{r} = \begin{pmatrix} x(u,v) \\ y(u,v) \\ z(u,v) \end{pmatrix}$$

Oberflächenelement: $d\mathcal{O} = |\vec{r}_u \times \vec{r}_v| \, du dv$

Normalenvektor: $\vec{n} = \vec{r}_u \times \vec{r}_v$

Normaleneinheitsvektor: $\vec{n}_o = \frac{\vec{r}_u \times \vec{r}_v}{|\vec{r}_u \times \vec{r}_v|}$

Oberflächenelement entspricht Jacobi-Determinante.

8.8 Flächenparametrisierungen

Gängige Tricks falls die Fläche gegeben ist als:

1. $z = f(x, y)$

$$\vec{r}(x, y) = \begin{pmatrix} x \\ y \\ f(x, y) \end{pmatrix}$$

2. $z = f(r, \varphi)$

$$\vec{r}(r, \varphi) = \begin{pmatrix} r \cos(\varphi) \\ r \sin(\varphi) \\ f(r, \varphi) \end{pmatrix}$$

3. Rotationssymmetrische Fläche

$$\vec{r}(t, \varphi) = \begin{bmatrix} \text{Rotations-} \\ \text{matrix} \\ (\varphi) \end{bmatrix} \cdot \begin{pmatrix} \text{Param.} \\ \text{Kurve} \\ (t) \end{pmatrix}.$$

8.8.1 Rotationsmatrizen

$$s_\varphi := \sin(\varphi) \qquad c_\varphi := \cos(\varphi)$$
$$\begin{bmatrix} 1 & 0 & 0 \\ 0 & c_\varphi & -s_\varphi \\ 0 & s_\varphi & c_\varphi \end{bmatrix}_x \qquad \begin{bmatrix} c_\varphi & 0 & s_\varphi \\ 0 & 1 & 0 \\ -s_\varphi & 0 & c_\varphi \end{bmatrix}_y \qquad \begin{bmatrix} c_\varphi & -s_\varphi & 0 \\ s_\varphi & c_\varphi & 0 \\ 0 & 0 & 1 \end{bmatrix}_z$$

9 Vektoranalysis

Jedem Punkt im Raum (x, y, z) wird ein Vektor zugeordnet.

$$\vec{v}(x, y, z) = \begin{pmatrix} u(x, y, z) \\ v(x, y, z) \\ w(x, y, z) \end{pmatrix}$$

9.1 Allgemein

Divergenz (Quellstärke)

$$\text{div}(\vec{v}) = \nabla \cdot \vec{v} = u_x + v_y + w_z$$

Rotation (Wirbelstärke)

$$\text{rot}(\vec{v}) = \nabla \times \vec{v} = \begin{pmatrix} w_y - v_z \\ u_z - w_x \\ v_x - u_y \end{pmatrix}$$

9.1.1 Identitäten

$$\nabla \cdot (\text{rot}(\vec{v})) = 0$$
$$\text{rot}(\nabla(f)) = 0$$

9.2 Fluss Φ

$$\Phi = \iint_A \vec{v} \cdot \vec{n}_0 \, dA$$
Allgemein

$$\Phi = \iint_A \vec{v}(\vec{r}(u, v)) \cdot (\vec{r}_u \times \vec{r}_v) \, du dv$$
Parametr.

$$\Phi = \iiint_V \nabla \cdot (\vec{v}) \, dV$$
Satz v. Gauss

9.2.1 Satz von Gauss

Falls \vec{v} in ganz B **definiert** und einmal **stetig differenzierbar** (*regulär*) ist, gilt

$$\iint_{\partial B} \vec{v} \cdot \vec{n}_0 \, d\mathcal{O} = \iiint_B \nabla \cdot (\vec{v}) \, dV,$$

wobei ∂B die geschlossene Oberfläche des Volumens B bezeichnet. Der Normaleneinheitsvektor \vec{n}_0 auf ∂B zeigt von innen nach aussen.

9.3 Arbeit

$$W = \int_C \vec{v} \, d\vec{r}$$
Allgemein

$$W = \int_C \vec{v}(\vec{r}(t)) \cdot \dot{\vec{r}}(t) \, dt$$
Parametr.

$$W = \iint_A \text{rot}(\vec{v}) \cdot \vec{n}_0 \, dA$$
Satz von Stokes

$$W = f(P_{\text{Ende}}) - f(P_{\text{Anfang}})$$
Potentialfeld

9.3.1 Satz von Stokes

Falls \vec{v} auf ganz A **definiert** und **stetig differenzierbar** (*regulär*) ist, gilt

$$\int_{\partial A} \vec{v} \, d\vec{r} = \iint_A \text{rot}(\vec{v}) \cdot \vec{n}_0 \, dA,$$

wobei ∂A den geschlossenen Rand der Fläche A bezeichnet. Der Normaleneinheitsvektor \vec{n}_0 auf A beschreibt mit der *Rechte-Hand-Regel* den Umlaufsinn von ∂A .

9.3.2 Potentialfeld \vec{v} zum Potential f

Falls der Definitionsbereich $D(f)$ eines **wirbelfreien** ($\text{rot}(\vec{v}) \equiv 0$) Vektorfeldes **einfach zusammenhängend** (EZH) ist, nennen wir es *konservativ*:

$$D(f) \text{ EZH} \quad \text{und} \quad \text{rot}(\vec{v}) \equiv \vec{0} \quad \Rightarrow \quad \vec{v} = \nabla(f).$$

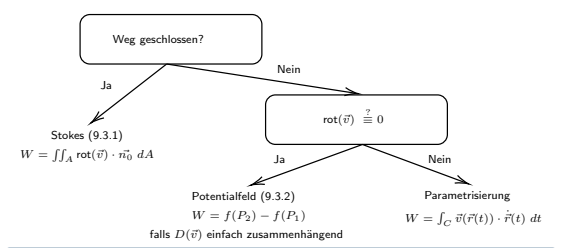
$$\vec{v} = \begin{pmatrix} u \\ v \\ w \end{pmatrix} = \begin{pmatrix} f_x \\ f_y \\ f_z \end{pmatrix} = \nabla(f)$$

$$f(x, y, z) = \int u \, dx = \int v \, dy = \int w \, dz$$

Die Arbeit zwischen zwei Punkten entspricht der Potentialdifferenz.

$$\vec{v} \text{ Potentialfeld} \implies \text{rot}(\vec{v}) = \vec{0}$$
$$\vec{v} \text{ Potentialfeld} \iff \text{rot}(\vec{v}) = \vec{0} \ \& \ D(\vec{v}) = \text{EZH}$$

9.3.3 Arbeit Berechnen



9.4 DGLs & Vektorfelder

$$y' = \frac{v_2}{v_1}$$
$$\vec{v} = \begin{pmatrix} v_1 \\ v_2 \end{pmatrix}$$

9.4.1 Feldlinien $y(x) \rightarrow$ Vektorfeld \vec{v}

1. Feldliniengleichung nach x ableiten $\rightarrow y'(x)$
2. Scharparameter eliminieren
3. $y' = \frac{v_2}{v_1} \rightarrow \vec{v} = \begin{pmatrix} v_1 \\ v_2 \end{pmatrix}$

9.4.2 Vektorfeld $\vec{v} \rightarrow$ Feldlinien $y(x)$

1. $y' = \frac{v_2}{v_1}$
2. DGL lösen

10 Differentialgleichungen (DGL)

10.1 Eigenschaften

10.1.1 Existenz- & Eindeigkeitssatz

Sei $y' = f(x, y)$ in $D(f)$ **stetig** und **stetig partiell nach y differenzierbar**.

- ⇒ Für jeden Punkt $(x_0, y_0) \in D(f)$ gibt es *genau eine* Lösung.
- ⇒ Graphen von versch. Anfangswertproblemen (AWP) sind identisch oder disjunkt (kein gem. Pkt.).

10.1.2 Linear

Eine DGL heisst *linear*, falls alle y -Terme (y, y', y'', \dots) nur linear vorkommen. (→ Kein: $\sin(y')$, $y \cdot y'$, e^y, \dots)

10.1.3 Separierbar

Separierbare DGLs können auf folgende Form gebracht werden:

$$h(y(x)) \cdot y'(x) = g(x).$$

$$h(y(x)) \cdot \frac{dy}{dx} = g(x)$$

$$\int h(y(x)) \cdot dy = \int g(x) \cdot dx$$

10.1.4 Substitutionen

$$u(x) = \frac{y}{x}$$

$$u(x) = ax + by(x) + c$$

$$u(x) = y'(x)$$

Um y' zu ersetzen, Substitution nach y umformen und nach x ableiten.

10.2 Orthogonaltrajektorien

$$y' = -\frac{1}{y'_{OT}}$$

1. Kurvenschar $y(x)$ ableiten → $y'(x)$
2. Scharparameter eliminieren
3. Obige Relation einsetzen und $y \rightarrow y_{OT}$
4. DGL für y_{OT} lösen

10.3 Enveloppe / Umhüllende

$$\begin{aligned} F(x, y, C) &= 0 \\ \frac{\partial}{\partial C} F(x, y, C) &= 0 \end{aligned}$$

1. Darstellung der Kurvenschar mit Scharparameter C finden: $F(x, y, C) = 0$
2. Ausdruck für Scharparam. mit obigen Gleichungen bestimmen.
3. Gefundenen Ausdruck \tilde{C} für Scharparam. in $F(x, y, C) = 0$ einsetzen → Enveloppengleichung

10.4 Lineare DGL 1. Ordnung

$$y' + p(x) \cdot y = q(x)$$

▷ $q(x) :=$ Störfunktion

10.4.1 Homogen $q(x) \equiv 0$

$$y' + p(x) \cdot y = 0$$

▷ Immer separierbar. (10.1.3)

10.4.2 Inhomogen $q(x) \neq 0$

$$y' + p(x) \cdot y = q(x)$$

1. $q(x) = 0$ setzen, homogene Lösung y_h finden
2. Partikuläre Lösung y_p finden:
 - Ansatz von Tabelle
 - Lagrange-Methode

10.4.3 Ansatz

1. Ansatz für y_p in inhomogene DGL einsetzen
2. Koeffizientenvergleich
3. $y = y_h + y_p$

Störfunktion $q(x)$	Ansatz für $y_p(x)$
Konstante	$y_p = A$
lineare Fkt.	$y_p = Ax + B$
Polynom Grad n	$y_p = Ax^n + Bx^{n-1} + \dots$
$A \sin(\omega x)$, $A \cos(\omega x)$,	
$A \sin(\omega x) + B \cos(\omega x)$	$y_p = C \sin(\omega x) + D \cos(\omega x)$
Ae^{bx}	$y_p = Be^{bx}$

Ansatz funktioniert nicht → mit x multiplizieren.

10.4.4 Lagrange-Methode

1. Lagrange-Ansatz $y_p: y_h = C \dots \rightarrow y_p = C(x) \dots$
2. Ansatz in inhomogene DGL einsetzen
3. Nach $C'(x)$ auflösen und integrieren
4. $C(x)$ in y_p einsetzen
5. $y = y_p$

10.5 DGL Spezialfälle

10.5.1 Clairaut'sche DGL

Entspricht Geraden mit Steigung y' und Achsenabschnitten $g(y')$.

$$y = y' \cdot x + g(y')$$

- **Allgemeine Lösung:**

$$y' = C \rightarrow y = C \cdot x + g(C)$$

- **Singuläre Lösung:**
Envelope der allg. Lsg. bestimmen. (10.3)

10.5.2 Exakte DGL

$$f_x + f_y \cdot y' = 0$$

- Bedingung: $f_{xy} = f_{yx}$

- Allgemeine Lösung: $f(x, y) = C$

10.6 Lineare DGL n. Ordnung - konst. Koeff.

10.6.1 Homogen

$$a_n y^{(n)} + \dots + a_2 y'' + a_1 y' + a_0 y = 0$$

1. Ansatz $y = e^{\lambda x}$ einsetzen → **char. Polynom**

2. Nullstellen λ_i des char. Polynom bestimmen

- $\lambda_1 \neq \lambda_2 \neq \dots$, reell

$$y = C_1 e^{\lambda_1 x} + C_2 e^{\lambda_2 x} + C_3 e^{\lambda_3 x} + \dots$$

- $\lambda_1 = \lambda_2 = \dots$, reell

$$y = C_1 e^{\lambda_1 x} + C_2 x e^{\lambda_2 x} + C_3 x^2 e^{\lambda_3 x} + \dots$$

- $\lambda_{1,2} = \lambda_{3,4} = \dots = a \pm ib$

$$\begin{aligned} y = & e^{ax} (C_1 \cos(bx) + C_2 \sin(bx)) + \\ & x e^{ax} (C_3 \cos(bx) + C_4 \sin(bx)) + \\ & x^2 e^{ax} (C_5 \cos(bx) + C_6 \sin(bx)) + \dots \end{aligned}$$

10.6.2 Inhomogen

$$a_n y^{(n)} + \dots + a_2 y'' + a_1 y' + a_0 y = q(x)$$

1. Homogene Lösung y_h bestimmen (10.6.1)

2. Partikuläre Lösung y_p

- Ansatz wie gewohnt (10.4.2)
Ansatz klappt nicht → mit x multiplizieren
- Lagrange-Methode (10.7)

10.7 Lagrange-Methode 2. Ordnung

1. DGL auf folgende Form bringen:

$$y'' + p_0(x)y' + p_1(x)y = q(x)$$

2. Homogene Lösung

$$y_h = C_1 y_1(x) + C_2 y_2(x)$$

3. $C_1(x), C_2(x)$ bestimmen

$$C_1(x) = - \int \frac{q(x)y_2(x)}{W(x)} dx$$

$$C_2(x) = \int \frac{q(x)y_1(x)}{W(x)} dx$$

$$W(x) = y_1 y_2' - y_1' y_2 \quad q(x) = \text{Störterm}$$

4. Allgemeine Lösung

$$y = C_1(x) y_1(x) + C_2(x) y_2(x)$$

10.8 Euler DGL

10.8.1 Homogen

$$a_n x^n y^{(n)} + \dots + a_2 x^2 y'' + a_1 x y' + a_0 y = 0$$

1. Ansatz $y = x^\alpha$ einsetzen → **Indexpolynom**

2. Nullstellen α_i des Indexpolynom bestimmen

- $\alpha_1 \neq \alpha_2 \neq \dots$, reell

$$y = C_1 x^{\alpha_1} + C_2 x^{\alpha_2} + C_3 x^{\alpha_3} + \dots$$

- $\alpha_1 = \alpha_2 = \dots$, reell

$$y = C_1 x^{\alpha_1} + C_2 \ln(x) x^{\alpha_2} + C_3 \ln(x)^2 x^{\alpha_3} + \dots$$

- $\alpha_{1,2} = \alpha_{3,4} = \dots = a \pm ib$

$$\begin{aligned} y = & x^a (C_1 \cos(b \ln(x)) + C_2 \sin(b \ln(x))) + \\ & \ln(x) x^a (C_3 \cos(b \ln(x)) + C_4 \sin(b \ln(x))) + \\ & \ln(x)^2 x^a (C_5 \cos(b \ln(x)) + C_6 \sin(b \ln(x))) + \dots \end{aligned}$$

10.8.2 Inhomogen

$$a_n x^n y^{(n)} + \dots + a_2 x^2 y'' + a_1 x y' + a_0 y = q(x)$$

1. Homogene Lösung y_h bestimmen (10.8.1)

2. Partikuläre Lösung y_p

- Ansatz (10.4.2)
Ansatz klappt nicht → mit $\ln(x)$ multiplizieren
- Lagrange-Methode (10.7)

10.9 DGL Systeme

Allgemein:

$$y_1'(x) = f_1(x, y_1, y_2)$$

$$y_2'(x) = f_2(x, y_1, y_2)$$

Autonom:

$$y_1'(x) = f_1(y_1, y_2)$$

$$y_2'(x) = f_2(y_1, y_2)$$

- Ein DGL System heisst **autonom**, falls die zu den gesuchten Funktionen (y_1, y_2) gehörige Variable (x) nicht explizit vorkommt.

10.9.1 Existenz- & Eindeutigkeitssatz

Die Funktionen f_1, f_2 seien **stetig in x** und **stetig partiell nach y_1, y_2 differenzierbar**.

⇒ Zu vorgegebenem $x_o, y_{1,o}, y_{2,o}$ gibt es *genau ein Paar* f_1, f_2 , welches das System löst und das AWP $y_1(x_o) = y_{1,o}$ und $y_2(x_o) = y_{2,o}$ erfüllt.

10.9.2 Lineare Autonome DGL Systeme mit konstanten Koeffizienten

$$\dot{x} = A \cdot x + b$$

$$\underbrace{\begin{pmatrix} \dot{x}_1 \\ \dot{x}_2 \end{pmatrix}}_{\dot{x}} = \underbrace{\begin{bmatrix} a_{11} & a_{12} \\ a_{21} & a_{22} \end{bmatrix}}_A \cdot \underbrace{\begin{pmatrix} x_1 \\ x_2 \end{pmatrix}}_x + \underbrace{\begin{pmatrix} b_1 \\ b_2 \end{pmatrix}}_b$$

• Eliminationsverfahren

- Nach einer gesuchten Funktion auflösen, ableiten und einsetzen
- DGL 2. Ordnung lösen
- Zweite gesuchte Funktion bestimmen

• Linalg-Methode

- Eigenwerte λ_i (EW) bestimmen

$$0 \stackrel{!}{=} \det(A - \lambda \mathbb{I})$$

- Eigenvektoren \vec{v}_i zu EW λ_i bestimmen

$$(A - \lambda_i \mathbb{I}) \cdot \vec{v}_i \stackrel{!}{=} 0$$

- Lösung Konstruieren:

– $\lambda_{1,2}$ reell

$$\begin{pmatrix} x \\ y \end{pmatrix} = C_1 \cdot \vec{v}_1 \cdot e^{\lambda_1 t} + C_2 \cdot \vec{v}_2 \cdot e^{\lambda_2 t}$$

– $\lambda_{1,2} = a \pm ib$

$$\lambda_1 = a + ib \quad \rightarrow \quad \vec{v}_1 = \begin{pmatrix} c \\ id \end{pmatrix}$$

$$w = \vec{v}_1 \cdot e^{\lambda_1 t} = \begin{pmatrix} c \\ id \end{pmatrix} e^{(a+ib)t}$$

$$\begin{pmatrix} x \\ y \end{pmatrix} = C_1 \cdot \operatorname{Re}(\vec{w}) + C_2 \cdot \operatorname{Im}(\vec{w})$$

10.9.4 Stabilitätsverhalten

$$\dot{x} = f_1(x, y)$$

$$\dot{y} = f_2(x, y)$$

- Falls nötig um GGWP (x_o, y_o) linearisieren:

$$\begin{pmatrix} \dot{\xi} \\ \dot{\eta} \end{pmatrix} = \underbrace{\begin{bmatrix} \frac{\partial f_1}{\partial x}(x_o, y_o) & \frac{\partial f_1}{\partial y}(x_o, y_o) \\ \frac{\partial f_2}{\partial x}(x_o, y_o) & \frac{\partial f_2}{\partial y}(x_o, y_o) \end{bmatrix}}_A \cdot \begin{pmatrix} \xi \\ \eta \end{pmatrix} + \begin{pmatrix} K_{f_1} \\ K_{f_2} \end{pmatrix}$$

- Eigenwerte λ_i von A bestimmen

- $\operatorname{Re}(\lambda_i) < 0, \forall i \rightarrow$ *asymptotisch stabil*
- $\operatorname{Re}(\lambda_i) \leq 0, \forall i \rightarrow$ *stabil*
- $\operatorname{Re}(\lambda_i) > 0, \exists i \rightarrow$ *instabil*

10.9.5 Phasenportrait

Die Feldlinien des Vektorfeldes \vec{v} beschreiben die Lösungskurven des *autonomen* DGL Systems.

$$\vec{v} = \begin{pmatrix} \dot{x} \\ \dot{y} \end{pmatrix} = \begin{pmatrix} f_1(x, y) \\ f_2(x, y) \end{pmatrix}$$

$$y'_{pp} = \frac{v_2}{v_1} \rightarrow y_{pp} = \int \frac{v_2}{v_1}$$

10.9.3 Gleichgewichtspunkte (GGWP)

$$\begin{pmatrix} \dot{x} \\ \dot{y} \end{pmatrix} = \begin{pmatrix} f_1(x, y) \\ f_2(x, y) \end{pmatrix} \stackrel{!}{=} \begin{pmatrix} 0 \\ 0 \end{pmatrix}$$

11 Appendix

11.1 Nullstellen Reeller Polynome mit Grad n

$$p(x) = a_0 + a_1x + a_2x^2 + \dots + a_nx^n, \quad a_i \in \mathbb{R}$$

- Hat genau 0 Nullstellen (komplex und reell)
- Komplexe Nullstellen kommen immer im komplex-konjugierten Paar vor.

11.2 Cosinus und Sinus - Integrale

Für $a, b \in \mathbb{Z}$ und $n \geq 2$, gelten:

$$\int_{a \cdot \frac{\pi}{2}}^{b \cdot \frac{\pi}{2}} \sin^n(x) dx = \frac{n-1}{n} \int_{a \cdot \frac{\pi}{2}}^{b \cdot \frac{\pi}{2}} \sin^{n-2}(x) dx$$

$$\int_{a \cdot \frac{\pi}{2}}^{b \cdot \frac{\pi}{2}} \cos^n(x) dx = \frac{n-1}{n} \int_{a \cdot \frac{\pi}{2}}^{b \cdot \frac{\pi}{2}} \cos^{n-2}(x) dx$$

Diese Regel kann mehrfach angewandt werden.

11.3 Polynome n-ten Grades

- $f(x) = a$ für alle $x \in D(f) \Leftrightarrow f(x)$ ist konstant
- $f'(x) \geq 0 \Leftrightarrow f(x)$ ist monoton wachsend
- $f'(x) \leq 0 \Leftrightarrow f(x)$ ist monoton fallend
- $f'(x) > 0 \Rightarrow f(x)$ ist streng monoton wachsend
- $f'(x) < 0 \Rightarrow f(x)$ ist streng monoton fallend
- $f''(x) > 0, x \in [a, b] \Leftrightarrow f(x)$ **konvex** auf $[a, b] \cup$
- $f''(x) < 0, x \in [a, b] \Leftrightarrow f(x)$ **konkav** auf $[a, b] \cap$
- $f^n(x)$:
 - n ungerade \rightarrow mind. eine Nullstelle
 - maximal $n-1$ Extremalstellen
 - n gerade und $\geq 2 \rightarrow$ mind. eine Extremalstelle
 - maximal $n-2$ Wendepunkte
 - $n \geq 3$ und ungerade \rightarrow mind. ein Wendepunkt, nicht zwingend Sattelpunkt

11.4 Wichtige Grenzwerte

$\lim_{x \rightarrow 0} \frac{\arctan(x)}{x}$	$= 1$	$\lim_{x \rightarrow \infty} x \cdot \sin \frac{1}{x}$	$= 1$
$\lim_{x \rightarrow 0} \frac{\sin(x)}{x}$	$= 1$	$\lim_{x \rightarrow \infty} a^{\frac{1}{x}}$	$= 1$
$\lim_{x \rightarrow 0} \frac{\arcsin(x)}{x}$	$= 1$	$\lim_{x \rightarrow \infty} x^{\frac{1}{x}}$	$= 1$
$\lim_{x \rightarrow 0} \frac{x}{\sin(ax)}$	$= \frac{1}{a}$	$\lim_{x \rightarrow \infty} \left(1 + \frac{a}{x}\right)^x$	$= e^a$
$\lim_{x \rightarrow 0} \frac{\sin(ax)}{\sin(x)}$	$= a$	$\lim_{x \rightarrow \infty} x^a \cdot \ln(x)^b$	$= 0$
$\lim_{x \rightarrow 0} \frac{\ln(a+x)}{x}$	$= \frac{1}{a}$	$\lim_{x \rightarrow \infty} \frac{e^{ax}}{x^b}$	$= +\infty$
$\lim_{x \rightarrow 0} \frac{\cos(x) - 1}{x}$	$= 0$	$\lim_{x \rightarrow \infty} \left(\frac{n-1}{n+1}\right)^n$	$= \frac{1}{e^2}$
$\lim_{x \rightarrow 0} \frac{1 - \cos(x)}{x^2}$	$= \frac{1}{2}$	$\lim_{x \rightarrow \infty} \frac{\ln(x)}{x-1}$	$= 1$
$\lim_{x \rightarrow 0} \frac{\tan(x) - 1}{x}$	$= 1$	$\lim_{x \rightarrow \pm \pi/2} \frac{\tan(x)}{x}$	$= \mp \infty$

11.5 Reihenentwicklung spezieller Funktionen

$$\frac{1}{1-x} = \sum_{n=0}^{\infty} x^n = 1 + x + x^2 + \dots$$

$$\frac{1}{1+2x^2} = \sum_{n=0}^{\infty} (-2x^2)^n = 1 - 2x^2 + 4x^4 - \dots$$

$$\frac{x^2}{5-x} = x^2 \cdot \frac{1}{5} \cdot \sum_{n=0}^{\infty} \left(\frac{x}{5}\right)^n = \sum_{n=0}^{\infty} \left(\frac{1}{5}\right)^{n+1} x^{n+2}$$

$$e^x = \sum_{n=0}^{\infty} \frac{x^n}{n!} = 1 + x + \frac{x^2}{2!} + \frac{x^3}{3!} + \dots$$

$$\sin(x) = \sum_{n=0}^{\infty} (-1)^n \cdot \frac{x^{2n+1}}{(2n+1)!} = x - \frac{x^3}{3!} + \frac{x^5}{5!} - \dots$$

11.6 Wichtige Integrale

$$\int \sin(x) \cos(x) dx = -\frac{1}{2} \cos^2(x) + C$$

$$\int \sin^2(x) \cos(x) dx = \frac{1}{3} \sin^3(x) + C$$

$$\int \sin(x) \cos^2(x) dx = -\frac{1}{3} \cos^3(x) + C$$

$$\int \ln(x) dx = x(\ln(x) - 1) + C$$

$$\int \frac{1}{x \ln(x)} dx = \ln |\ln(x)| + C$$

$$\int 2x\sqrt{r^2 - x^2} dx = -\frac{2}{3}(r^2 - x^2)^{\frac{3}{2}} + C, \quad r \neq 0$$

$$\int \sqrt{1+x^2} dx = \frac{1}{2} (\operatorname{Arsinh}(x) + x\sqrt{1+x^2}) + C$$

$$\int \sqrt{1-x^2} dx = \frac{1}{2} (\arcsin(x) + x\sqrt{1-x^2}) + C$$

$$\int \frac{x}{\sqrt{x^2-1}} dx = \sqrt{x^2-1} + C$$

$$\int \frac{x}{\sqrt{x^2+1}} dx = \sqrt{x^2+1} + C$$

$$\int \frac{1}{x^2+x} dx = -\ln |1+x^{-1}| + C$$

11.7 Ableitung Un-/Gerader Funktionen

- $g(x)$ sei gerade

$$g'(0) = g^{(3)}(0) = g^{(5)}(0) = \dots = 0$$

- $f(x)$ sei ungerade

$$f''(0) = f^{(4)}(0) = f^{(6)}(0) = \dots = 0$$

11.8 Rechengesetze für Exponenten & Logarithmen

$$B^a \cdot B^b = B^{a+b}$$

$$\frac{B^a}{B^b} = B^{a-b}$$

$$(B^a)^b = B^{a \cdot b}$$

$$\log_B(a \cdot b) = \log_B(a) + \log_B(b)$$

$$\log_B\left(\frac{a}{b}\right) = \log_B(a) - \log_B(b)$$

$$\log_B(a^r) = r \cdot \log_B(a)$$

$$\text{Basiswechsel: } \log_a(x) = \frac{\log_b(x)}{\log_b(a)}$$

11.9 Polarkoordinaten

Umrechnung im ersten Quadranten

$$\left. \begin{aligned} r &= \rho(\phi) \\ x &= \cos(\phi) \cdot r \\ y &= \sin(\phi) \cdot r \end{aligned} \right\} \phi \in \left[0, \frac{\pi}{2}\right]$$

11.10 Lösen von inhomogenem Diff'gleichungssystem

Man hat bereits mit dem in 11.1 beschriebenen Verfahren die Lösung $y_h(t)$ für das homogene Diff'gleichungssystem $y' = A \cdot y$ gefunden. Jetzt sucht man die Lösung für das inhomogene System:

$$y' = A \cdot y + b:$$

Das Prinzip ist, dass man eine partikuläre Lösung $y_p(t)$ findet, die die Diff'gleichung sicher erfüllt. Die allgemeine Lösung ist dann $y(t) = y_h(t) + y_p(t)$

Vorgehen:

1. Man nimmt an, dass die partikuläre Lösung $y_p(t)$ konstant ist. Daraus folgt, dass $y'_p(t) = 0$. Man löse also das Gleichungssystem $A \cdot y_p = -b$
2. Man addiere die homogene und die Partikuläre Lösung zusammen: $y(t) = y_h(t) + y_p(t)$

11.11 Hessesche Matrix

1. Bilde Hessesche Matrix in der richtigen Dimension für jeden kritischen Punkt:

$$\text{Bsp: } H_{2 \times 2} = \begin{pmatrix} \frac{dq(x)}{dx_1}^2 & \frac{dq(x)}{dx_1 dx_2}^2 \\ \frac{dq(x)}{dx_1 dx_2}^2 & \frac{dq(x)}{dx_2}^2 \end{pmatrix}$$

2. Bestimme Definitheit der Matrix (siehe 9.3).

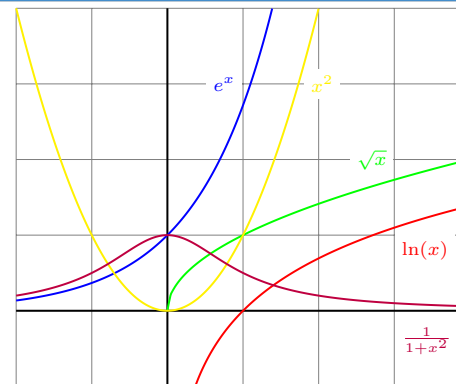
positiv definit \Rightarrow lokales Minimum

negativ definit \Rightarrow lokales Maximum

indefinit \Rightarrow Sattelpunkt

- positiv definit: Alle $\lambda > 0$
- negativ definit: Alle $\lambda < 0$
- positiv semidefinit: Alle $\lambda \geq 0$
- negativ semidefinit: Alle $\lambda \leq 0$
- indefinit: sonst

11.12 Häufige Funktionsgraphen



12 Trigonometrie

12.1 Werte Tabelle

rad	0	$\frac{\pi}{6}$	$\frac{\pi}{4}$	$\frac{\pi}{3}$	$\frac{\pi}{2}$
deg	0°	30°	45°	60°	90°
sin	0	$\frac{1}{2}$	$\frac{\sqrt{2}}{2}$	$\frac{\sqrt{3}}{2}$	1
cos	1	$\frac{\sqrt{3}}{2}$	$\frac{\sqrt{2}}{2}$	$\frac{1}{2}$	0
tan	0	$\frac{\sqrt{3}}{3}$	1	$\sqrt{3}$	$\pm \infty$

12.2 Rechenregeln

$$1 = \sin(x)^2 + \cos(x)^2$$

$$\sin(\alpha \pm \beta) = \sin \alpha \cos \beta \pm \cos \alpha \sin \beta$$

$$\sin(2\alpha) = 2 \sin \alpha \cos \alpha$$

$$\sin(3\alpha) = 3 \sin \alpha - 4 \sin^3 \alpha$$

$$\sin^2 \frac{\alpha}{2} = \frac{1 - \cos \alpha}{2}$$

$$\cos(\alpha \pm \beta) = \cos \alpha \cos \beta \mp \sin \alpha \sin \beta$$

$$\cos(2\alpha) = \cos^2 \alpha - \sin^2 \alpha$$

$$= 2 \cos^2 \alpha - 1 = 1 - 2 \sin^2 \alpha$$

$$\cos(3\alpha) = 4 \cos^3 \alpha - 3 \cos \alpha$$

$$\cos^2 \frac{\alpha}{2} = \frac{1 + \cos \alpha}{2}$$

$$\frac{a}{\sin(\alpha)} = \frac{b}{\sin(\beta)} = \frac{c}{\sin(\gamma)}$$

$$a^2 = b^2 + c^2 - 2bc \cdot \cos(\alpha)$$

12.3 Funktionsmodifikation

$$\text{Frequenz } f : t \rightarrow \sin\left(\frac{2\pi}{T}t\right)$$

$$\text{Amplitude } f : t \rightarrow A \cdot \sin(t)$$

$$\text{Winkelgeschwindigkeit } \omega = \frac{2\pi}{T} \left[\frac{1}{s}\right]$$